

報 文

화학공학 제5권 제3호

J. KICHE, Vol. 5, No. 3

Sept. 1967

Naphtha 의 热分解에 依한 Olefin 의 生成에 關하여

南 宮 寔* · 表 孝 廣**

On the Olefin Formation by Thermal Cracking of Naphtha

Shik Namkoong* · Hyo-Kuang Bae**

* , **Dept. of Chem. Eng., Hanyang Univ.

Thermal cracking of n-Hexane, the major component of naphtha was carried out at the similar temperature range of commercial naphtha cracking unit operation, in order to search the data for reactor design.

In this work the lighter fraction of naphtha and the n-Hexane were decomposed thermally at the reaction temperature range 650—800°C and catalytically at 600~700°C for the comparison.

The gaseous product was analyzed by gas chromatography.

The combination of the mole fractions of gaseous product and equilibrium constants (K_n) of several subsystems in all the decomposition reaction was plotted against the pyrolysis severity function ($t \cdot \theta^{0.06}$).

Then, distribution of the major gas components could be roughly predicted by the severity function.

The actual weight percent of ethylene was 15~25% in the range of pyrolysis severity function 1300~1500 and was compared with the estimated value from the empirical equation proposed by H. R. Linden and J. M. Reid⁽¹⁾.

It is possibly considered that n-Hexane can be used as the representative component to obtain the reactor design data of naphtha cracking unit experimentally, for the difference of gas distribution between naphtha and n-Hexane cracking was not clearly found.

1. 緒 論

Naphtha 를 热分解하여 ethylene 을 얻는 工程에는 大別하여 (a) 管式加熱爐法(tubular heater 法), (b) Steam cracking 法, (c) 移動層法(T. P. C. 法, Pebble heater 法, Sand cracker 法, Höchst 法, F. T. C 法) (d) 蕃熱爐法, (e) 部分燃燒法, (f) Catalole 法⁽²⁾ 等이 있으며 工業的인 分解溫度는 700~800°C 가 普通이다.

本實驗에서는 naphtha의 溶分(55~175°C)과 n-Hexane 을 650~800°C에서 热分解하여 그組成을 求하였다. 元來 naphtha 는 炭化水素의 多成分의 混合物이며 热分解反應에서는 反應生成物의 種類가 많으므로 어느反應

이 反應系를 支配한다고 말하기는 매우 困難하나 이들 反應中에 몇 個의 subsystem 을 생각하면 氣體生成物 中의 主成分인 CH₄, C₂H₆, C₂H₄, C₃H₆, H₂ 等의組成을 大略豫測할 수 있다⁽³⁾. 即 이 subsystem 的 平衡定數(K_n) 와 生成氣體組成의 組合에 對하여 Pyrolysis severity function ($t \cdot \theta^{0.06}$)을 plot 하고 氣體成分中 水素의 mole 分率을 適當히 假定하면 다른 成分의 mole 分率를 알 수 있다. 이때 mole 分率의 合이 거의 1이 될 때까지 水素의 mole 分率를 假定하여야 한다. 또한 ethylene 的 收率(wt%)도 實驗值와 實驗式⁽¹⁾에서 計算한 理論值를 比較하였다.

熱分解時와 同一方法으로 Silica-Alumina 觸媒를 使用하여 接觸分解하여 生成氣體의組成과 그中的 ethylene 收率을 热分解時와 比較하였다. 또한 多成分系인 naphtha

*,** 漢陽大 工大 化工科

와純粹한 n-Hexane의熱分解時生成된氣體組成과前述한 plot를檢討하므로써 naphtha分解裝置設計에必要한 data를 얻는데 n-Hexane을使用하여도無關할지를檢討하였다.

2. 實驗

2.1 試料

Naphtha: 大韓石油公社의 naphtha(比重 0.767)을 Raschig Ring으로充填한 小形 packed column 蒸溜裝置로 55°~175°C의 溶分을 取하고 每實驗마다 100 ml을 取하였다.

n-Hexane: E. Merck 製 一級試藥을 그대로 100 ml씩 取하여 實驗하였다(比重 0.667).

2.2 實驗方法

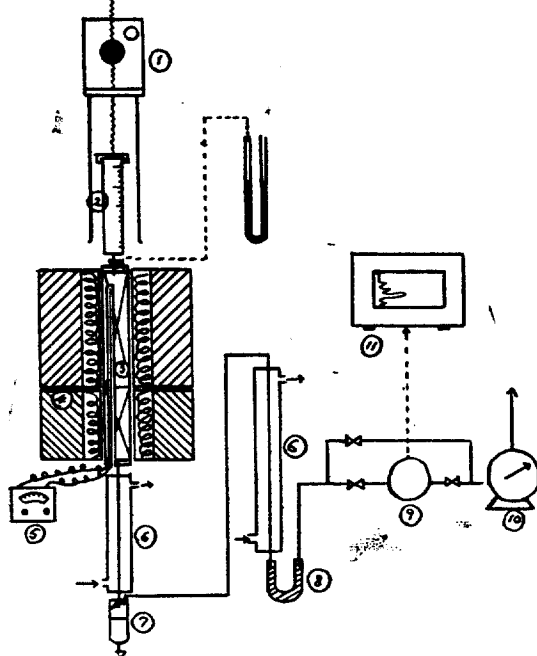


Fig. 1 Experimental apparatus of naphtha (or n-Hexane) cracking

- | | |
|-------------------------|----------------------|
| ① Microfeeder | ⑦ Trap |
| ② Syringe(5 ml, 100 ml) | ⑧ Glass wool |
| ③ Reactor | ⑨ Gas collector |
| ④ Electric furnace | ⑩ Gas flow meter |
| ⑤ Pyrometer | ⑪ Gas chromatography |
| ⑥ Condenser | ⑫ Manometer |

實驗裝置의 略圖는 Fig. 1에 圖示하였다. 試料 100 ml을 注射器에 取하여 Microfeeder에 裝置하고 反應時間 to 調節하기 為하여 Microfeeder Screw의 降下速度와 注射器의 크기를 바꾸어 試料供給速度를 1.05~1.98 ml/min 되게 하였고, 反應器의 길이를 8.5 cm(22 mmφ, 石英片充填)와 28 cm(22 mmφ, 充填物 없음)의

石英管을 使用하여 分解反應時間을 調節하였다.

反應器下部에 急冷 condenser를 붙여 生成物을 急冷시켜 氣液成分을 分離하였고 分離된 氣體를 Gas collector에 小量捕集하고 大部分을 Gas flowmeter로 보내어 生成된 氣體量을 測定하였다. 每實驗마다 trap을 逐一剥离して 外部에서 들어간 空氣가 完全히 씻어나왔는지를 알기 為하여 試料의 約半量이 供給되었을 때부터 종종 生成氣體의 小量을 採取하여 "MS-13X" Column으로 生成氣體中의 空氣痕跡을 調査하였다. Recorder에 空氣의 痕跡이 거의 나타나지 않을 때 Gas collector에 生成氣體를 小量捕集하고 注射器로 1~1.5ml을 取하여 DMF(Dimethyl Formamide) Column으로 定量하였다. DMF column은 750°C~800°C에서 燃成된 60~80 mesh의 Activated Alumina 100 g에 對하여 38 g의 DMF를 吸着⁽⁴⁾시켜 column 1 m當 10~12g을 充填하여 使用하였다.

2.3 氣體成分의 分析, 確認 및 組成計算

Gas chromatography는 mV-Recorder를 購入하여 本研究室에서 組立한 것이며 그 操作條件은 다음과 같다.

Column length: 3 m

Cell current: 105~115 mV

Chart speed: 12.5 mm/min

Carrier gas: H₂ (about 30 ml/min)

Pressure [psig]: 6.5~7.0

Temperature: Room temp.

氣相炭化水素의 Chromatograph가 이미 알려져 있으므로⁽⁶⁾ 同一條件(充填物, Column의 길이, Carrier gas의 流速等)에서 分析하고 各成分의 保持時間 to 測定하므로써 各成分을 確認할 수 있었다. Fig. 2는 Chromatograph의 한 예이다.

各成分氣體의 組成은 peak의 面積에 各成分의 相對濃度⁽⁶⁾를 곱하고 이 總和에 對한 各成分의 百分率로 부피比를 나타내었다. 水素는 生成氣體가 理想氣體라고 생각하여 氣體의 全體 무게, 부피와 液體의 무게, 試料의 무게 等에서 rough하게 計算하였다.

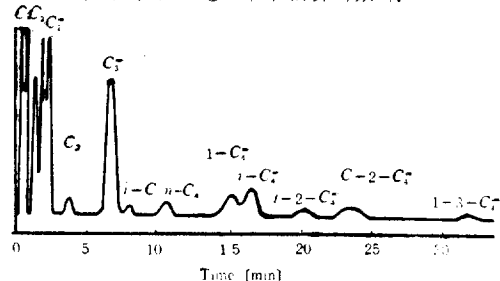
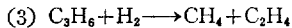
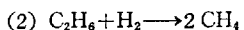
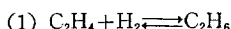


Fig. 2 Gas Chromatograph of Hydrocarbons (Carbon No. 1~4) when used Dimethyl Formamide column

3. 實驗結果 및 考察

H. H. R. Linden, et al은 petroleum oil, natural gas oil, Shale oil等을 熱分解하였을 때 CH_4 , C_2H_6 , C_2H_4 , C_3H_6 , H_2 等이 主成分이라 보면 이들의 氣體成分의 組成은 二次的氣相反應에 依하여 解釋할 수 있다고 報告하였다⁽¹⁾⁽³⁾. 一次的分解反應이 거의 일어났을 경우에 二次的氣相反應이



와 같은 Subsystem이라 하면 廣範圍한 實驗 data에서 다음과 같은 關係가 있다고 하였다. 但

$$y_{\text{C}_3\text{H}_6}/\pi^{1/3} \cdot y_{\text{CH}_4} = \phi_3(t \cdot \theta^{0.06}) \quad (1)$$

$$y_{\text{C}_2\text{H}_6}/\pi^{1/3} \cdot y_{\text{CH}_4} = \phi_2(t \cdot \theta^{0.06}) \quad (2)$$

$$f_3/K_3 = \phi(t \cdot \theta^{0.06}) \quad (3)$$

$$y_{\text{CH}_4}/\pi^{1/3} \cdot y_{\text{H}_2} = \phi_1 \cdot \phi_3 \cdot K_3 = \alpha \quad (4)$$

단 $f_3 = \frac{y_{\text{CH}_4} \cdot y_{\text{C}_2\text{H}_6}}{y_{\text{C}_3\text{H}_6} \cdot y_{\text{H}_2}}$ 이다.

따라서 y_{H_2} 를 適當히 假定하므로써 다음의 (6)式에 따라 그 組成을豫測할 수 있다. 또한 總供給試料에 對한 ethylene의 收率($\text{wt}\%$)를 쉽게 알기 为하여 試料의 C/H比, $t \cdot \theta^{0.06}$, π 의 函數로 表示된 (5)式을 提出하였다⁽⁴⁾.

$$\text{C}_2\text{H}_4 \text{의 } \text{wt}\% = \left[\frac{220}{(\text{C}/\text{H})} - 16 \right] \left[e^{-\left(\frac{t \cdot \theta^{0.06} - 1750}{45(\text{C}/\text{H})} \right)} \right]$$

[1 - 0.75log π] (5)

여기서 t 는 화씨 測度이다.

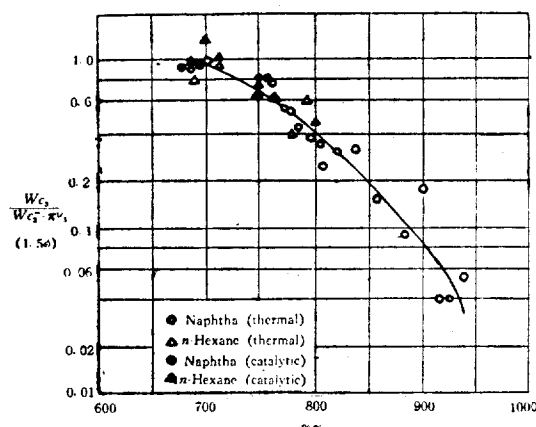


Fig. 3 Effect of Pyrolysis Severity on $\text{C}_3\text{H}_6/\text{C}_2\text{H}_4$ Weight ratio. ($t \rightarrow ^\circ\text{C}$)

本實驗의 Data로써 Fig. 3, 4, 5와 같으 $t \cdot \theta^{0.06}$ 에 對하여 $1.5\phi_1$, ϕ_2 , ϕ_3 를 plot하고 Fig. 6에에서는 θ 에 對하여 α 를 plot하였다. Naptha와 n-Hexane의 差異, 分解方法에 따른 差異를 發見하기 为하여 한 graph 内에 함께 plot하였으나 試料, 分解方法에 따른 差異는 發見할 수 없었으며 거의 같은 傾向을 나타내고 있다.

Fig. 3, 4, 5, 6과 다음 (6)式에서 各成分의 大略의 組成을豫測할 수 있다. 即,

$$y_{\text{H}_2} = \text{Assumed value}$$

$$y_{\text{CH}_4} = \alpha y_{\text{H}_2} \pi^{1/3}$$

$$y_{\text{C}_2\text{H}_6} = \alpha \phi_2 / K_1 \cdot \pi^{1/3} \quad (6)$$

$$y_{\text{C}_3\text{H}_6} = \alpha \phi_1 \phi_3 / K_3$$

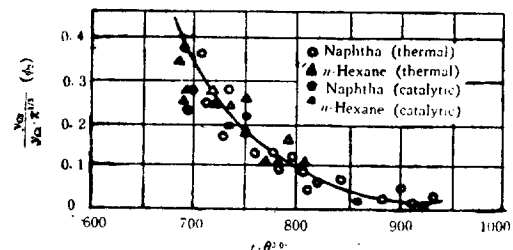


Fig. 4 Effect of pyrolysis severity on $\text{C}_3\text{H}_6/\text{CH}_4$ mole ratio. ($t \rightarrow ^\circ\text{C}$)

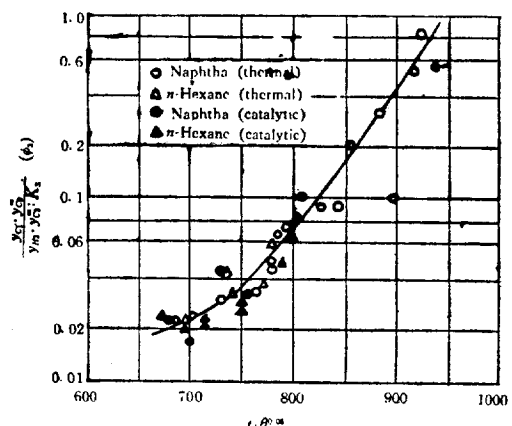


Fig. 5 Effect of pyrolysis severity on approach of $\text{C}_3\text{H}_6 - \text{H}_2 - \text{CH}_4 - \text{C}_2\text{H}_4$ system to equilibrium ($t \rightarrow ^\circ\text{C}$)

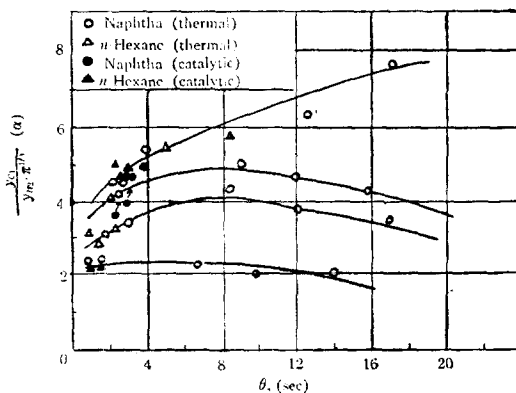


Fig. 6 Relationship between pyrolysis temperature ($t^{\circ}\text{C}$), reaction time (θ) and calculated CH_4/H_2 mole ratio

에서 $y\text{H}_2$ 를 假定하면 各組成의 計算되고 그 組成의 合이 거의 1 이 될 때까지 試行錯誤方法에 依하여 組成을 求할 수 있다.

Subsystem 的 平衡定數(K_n)는 標準自由에너지(ΔF°_T)에서 求하였다⁽⁸⁾. ΔF°_T 를 溫度의 関數로 나타내면 다음의 (7), (8), (9)式과 같다

Subsystem (1)

$$\Delta F^\circ_T = -30900 + 17.3 T \log T - \frac{4.9}{10^3} T^2 + \frac{4.67}{10^7} T^3 - 18.7 T \quad (7)$$

Subsystem (2)

$$\Delta F^\circ_T = -1475 + 5.59 T \log T + \frac{9.57}{10^3} T^2 - \frac{3.28}{10^7} T^3 - 19.7 T \quad (8)$$

Subsystem (3)

$$\Delta F^\circ_T = -9157 + 9.17 T \log T - \frac{8.65}{10^3} T + \frac{3.9}{10^8} T^3 - 28.1 T \quad (9)$$

여기서 T 는 Kelvin degree 이다.

Table 1. K values at the reaction temperature

Temp [$^{\circ}\text{C}$]	650	700	750	800
Subsystem				
(1)	11.7	4.51	1.95	0.2
(2)	11000	8710	4270	2950
(3)	355	234	193	133

Fig. 7 은 實驗에서 얻은 ethylene 的 收率과 Linden 的 實驗式(5式)에서 求한 計算值를 함께 plot 하여 比較하였다. Fig. 8 은 接觸分解時의 ethylene 的 收率을 나타내고 있다.

$t \cdot 10^{0.06}$ 이 約 1400 以上에서는 Linden 式에서의 計算值와 本實驗值의 큰 差異는 없으나 約 1350 以下에서는

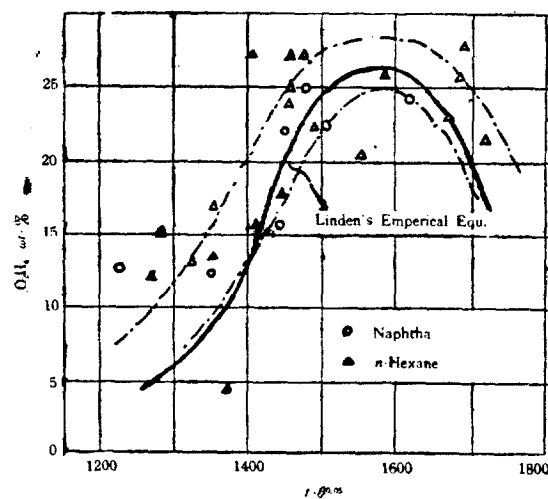


Fig. 7 Effect of pyrolysis severity function on ethylene yield ($t \rightarrow ^{\circ}\text{F}$)

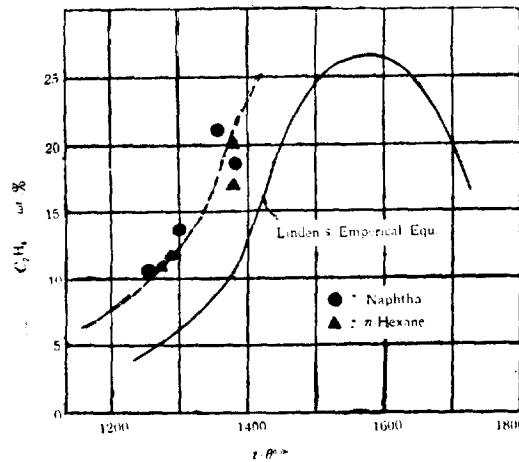


Fig. 8 Effect of $\text{SiO}_2-\text{Al}_2\text{O}_3$ catalyst on ethylene yield ($t \rightarrow ^{\circ}\text{F}$)

크게 差異가 있었다. Fig. 8에서 ethylene 收率에 對한 觸媒의 影響은 거의 發見 할 수 없으나 pyrolysis severity function에 對한 關係는 热分解時와 같은 傾向을 나타내고 있다.

4. 結論

(1) Naphtha 와 n-Hexane 은 앞의 plot에서 현저한 差異를 發見 하지 못하였으며 Naphtha 分解裝置設計에 對한 諸因子의 究明에 n-Hexane 이 代置될 수 있는 餘地를 보였다.

(2) Pyrolysis severity function 이 1400 以上에서는 既往의 實驗式值와 거의 一致하며 ethylene 的 收率은

20~25%이었다(Fig. 7 參照).

(3) Naphtha等을 热分解할 때前述한 實驗條件의範圍에서 pyrolysis severity function ($t \cdot \theta^{0.06}$), 反應時間(θ), subsystem의 平衡定數(K_n)等을 알 수 있을 때 主要成分의 組成을 大略豫測할 수 있다.

(4) 觸媒使用時の ethylene의 收率은 热分解時와 거의 差異가 없었다.

記 號

C/H; Carbon-Hydrogen weight ratio of feed.

f_n ; partial pressure product.

K_n ; f_n at equilibrium.

t ; Maximum temperature in flow reactor [$^{\circ}\text{C}$ or $^{\circ}\text{F}$]

θ ; Reaction time based on π , free volume of reaction zone and total exit gas flow rate, neglecting volume contribution of non gaseous products as calculated from ideal gas law [sec.]

y ; Mole fraction of components in total exit gas.

w ; weight of one gas component converted per unit mass of sample [%]

參 考 文 獻

- (1) Linden, H. R. and J. M. Reid; Chem. Eng. Prog. **55**, 71, 77 (1959)
- (2) 日本石油學會編; 分解, 酸化, pp. 58~70, 朝倉書店(日本) (1962)
- (3) Linden, H. R. et, al; Ind. Eng. Chem., **47**, 2467 (1955)
- (4) 荒木 峻, 益子洋一郎, 丸川正生; ガスクロヌドグラフイー 第三集, p. 60, (東京南江堂) (1962)
- (5) 荒木 峻, 益子洋一郎, 丸川正生; ibid p. 59 (東京南江堂) (1962)
- (6) 日本化學會編; 實驗化學講座 緯 9, ガスクロヌドグラフイー, p. 141 (日本丸善) (1956)
- (7) Smith, J. M. and H. C. Van Ness; Introduction to Chemical Engineering Thermodynamics, p. 416 McGraw Hill (1956)